

МІНІСТЕРСТВО ОСВІТИ І НАУКИ УКРАЇНИ

**ОДЕСЬКА НАЦІОНАЛЬНА АКАДЕМІЯ
ХАРЧОВИХ ТЕХНОЛОГІЙ**



**ЗБІРНИК ТЕЗ ДОПОВІДЕЙ
81 НАУКОВОЇ КОНФЕРЕНЦІЇ
ВИКЛАДАЧІВ АКАДЕМІЇ**

Одеса 2021

Наукове видання

Збірник тез доповідей 81 наукової конференції викладачів академії
27 – 30 квітня 2021 р.

Матеріали, занесені до збірника, друкуються за авторськими оригіналами.
За достовірність інформації відповідає автор публікації.

Рекомендовано до друку та розповсюдження в мережі Internet Вченою радою
Одеської національної академії харчових технологій,
протокол № 14 від 27-29.04.2021 р.

Під загальною редакцією Заслуженого діяча науки і техніки України,
Лауреата Державної премії України в галузі науки і техніки,
д-ра техн. наук, професора Б.В. Єгорова

Укладач Т.Л. Дьяченко

Редакційна колегія

Голова Єгоров Б.В., д.т.н., професор
Заступник голови Поварова Н.М., к.т.н., доцент

Члени колегії: Амбарцумянц Р.В., д-р техн. наук, професор
Безусов А.Т., д-р техн. наук, професор
Бурдо О.Г., д.т.н., професор
Віннікова Л.Г., д-р техн. наук, професор
Гапонюк О.І., д.т.н., професор
Жигунов Д.О., д.т.н., доцент
Іоргачова К.Г., д.т.н., професор
Капрельянц Л.В., д.т.н., професор
Коваленко О.О., д.т.н., проф.
Косой Б.В., д.т.н., професор
Крусір Г.В., д-р техн. наук, професор
Мардар М.Р., д.т.н., професор
Мілованов В.І., д-р техн. наук, професор
Павлов О.І., д.е.н., професор
Плотніков В.М., д-р техн. наук, доцент
Станкевич Г.М., д.т.н., професор,
Савенко І.І., д.е.н., професор,
Тележенко Л.М., д-р техн. наук, професор
Ткаченко Н.А., д.т.н., професор,
Ткаченко О.Б., д.т.н., професор
Хобін В.А., д.т.н., професор,
Хмельнюк М.Г., д.т.н., професор
Черно Н.К., д.т.н., професор

APPLICATION OF DIELECTRIC SPECTROSCOPY AND TSDC METHODS FOR STUDYING RELAXATION IN NON-LINEAR OPTICAL AND FERROELECTRIC POLYMERS

Prof. A.E. Sergeeva, Prof. S.N. Fedosov
Odessa National Academy of Food Technologies

Non linear optical polymers with huge chromophore molecules incorporated in a polymer matrix have prospects of wide application in modern optical devices for the second harmonic generation (SHG), the optical parametric amplification (OPA), the optical rectification (OR), etc., therefore their stability and relaxation behavior are of the great practical and theoretical interest.

It is known that the relaxation behavior of dye molecules in guest-host polymer systems is related to the molecular motion in the polymer. From another side, addition of a foreign substance to a polymer modifies its relaxation behavior. These processes in nonlinear optical (NLO) polymers are interrelated and both affect stability of the poled order. Therefore, investigation of the relaxation processes can give information on the chromophore dynamics and stability of the poled order.

In this work we study a system obtained by doping atactic polystyrene (PS) with disperse red 1 (DR1) dye molecules. Main transitions in PS are well established. The α -process is the glass-rubber transition observed near T_g temperature. The β -transition is seen at sub- T_g temperatures from -10 to $+60$ °C, while γ and δ are cryogenic transitions at -120 and -230 °C correspondingly. The objective of this study was to find how doping affects the relaxation processes in PS.

Dielectric properties of PVDF, P(VDF-TFE) and polystyrene doped with DR1 dye molecules have been studied by the dielectric spectroscopy from -60 to $+120$ °C at frequencies from 1 Hz to 5 MHz and by the TSDC method from -160 to $+140$ °C. Relaxation peaks were also calculated from isothermal absorption currents using Hamon's approximation.

Three relaxation processes were identified in ferroelectric polymers, namely α -relaxation in amorphous phase, β -relaxation in a glassy state and interfacial or space charge relaxation at 60 - 100 °C. A non-Debye α -peak at -45 °C related to glass transition had a broad distribution of relaxation times. The same process gave rise to $\epsilon''(f)$ peak at -20 °C and 30 kHz. β -relaxation was seen as a broad TSDC peak at -135 °C. In nonlinear optical polymer, β , γ and ρ -processes were identified from TSDC peaks at -60 , -130 and -10 °C correspondingly.

The loss factor $\epsilon''(f)$ dependence showed an α -peak with its position changing from 10 Hz at 100 °C to $3 \cdot 10^4$ Hz at 130 °C and narrowing with temperature, but being still much broader than the Debye peak. From isothermal current decay at 25, 75, 95 and 125 °C we calculated $\epsilon''(f)$ peaks at infra-low frequencies from 10^{-5} to 10^{-2} Hz.

From temperature dependence of peaks position we have found the activation energy of α -relaxation $Q_\alpha=2.57$ eV, while all peaks at infra-low frequencies corresponded to β -relaxation with $Q_\beta=0.52$ eV. Temperature dependence of the relaxation time $\tau(T)$ agreed with the Williams-Landel-Ferry model with $\tau(T_g)=200$ sec and glass transition temperature $T_g=86$ °C. The $\epsilon''(f)$ peaks were fitted with Havriliak-Negami model and corresponding distribution parameters have been obtained.

Finally, it has been found that the PS/DR1 system is not a thermoreologically simple one, so that the temperature-time superposition principle is not applicable for $T > T_g$. Although the β -processes are similar in both pure and doped PS, nevertheless some quantitative difference has been detected. The TSDC and loss peaks in PS/DR1 were more prominent than in pure PS. The data can be used for estimation thermal and temporal stability of polarization in NLO polymers.

ОТРИМАННЯ ТА ДОСЛІДЖЕННЯ ЕКСТРАКТІВ ІЗ

РОЗТОРОПШІ ПЛЯМИСТОЇ

Задорожний В.Г., професор

Одеська національна академія харчових технологій, м. Одеса

Забезпечення населення ефективними та безпечними лікарськими препаратами є одним із пріоритетних завдань. В цьому відношенні особливої актуальності набувають лікарські рослинні препарати (ЛРП), що володіють широким діапазоном терапевтичної дії і рядом переваг в порівнянні з лікарськими засобами синтетичного походження. ЛРП відрізняє відносно низький ризик розвитку алергії, більш м'який терапевтичний ефект і безпеку.

Метою цієї роботи було дослідження режимів УЗ-екстракції розторопші плямистої.

Як екстрагент ми використовували дистильовану воду і етиловий спирт. Для екстракції було взято співвідношення сировина:екстрагент 1:10 (за вагою). Застосування в якості екстрагента води пов'язане з її харчовим і фармацевтичним використанням.

Ультразвуковою генератор генерував поздовжні механічні коливання з частотою 30-40 кГц. Завдяки змінним насадкам можливе отримання наступних діапазонів потужностей: від 12,5 Вт/см² до 460 Вт/см². Дані частоти (30-40 кГц) не є небезпечними для здоров'я людини, але не рекомендується робота приладу «вхолосту» (насадка не знаходиться в якому-небудь середовищі).

До екстракції сировину не піддавали ніякою попередньою обробкою. Ультразвуковий вплив на тверду рослинну сировину проводилося з інтенсивністю Вт/м² протягом 5-20 хвилин.

Подальше збільшення часу ультразвукової обробки не призводить до збільшення вмісту біологічно активних речовин в розчині, а викликає їх руйнування і інактивацію.

Ультразвукова обробка проводилася в такий спосіб: ультразвуковий генератор налаштовується за інтенсивністю впливу, наважка рослинної сировини (10 г) насилають в хімічний стаканчик і заливають 100 мл дистильованої води або етилового спирту, після чого насадку генератора занурюють в цей стаканчик і проводять обробку сировини.

Під час ультразвукової обробки середовище нагрівається до 30-40 °С (в залежності від потужності ультразвуку і тривалості впливу), що не призводить до деструкції БАС розторопші.

Після завершення обробки розчин фільтрують (необхідно видалити залишки розторопші). Потім проводилося вимірювання в'язкості отриманого розчину за допомогою віскозиметра Освальда, а також визначався сухий залишок.

Отриманий сухий залишок зважували і повторно розчиняли в обсязі води рівному вихідного (взятому для екстракції). При цьому в'язкість екстрактів відновлюється, що важливо при практичному використанні сухих компонентів розторопші. З таблиці 1 видно, що максимальний вихід сухого залишку розторопші є при УЗ обробки екстракції потужністю 50 Вт/м² протягом 20-50 хвилин. Збільшення потужності УЗ обробки призводить до нагрівання і деструкції одержуваних БАК. При збільшенні часу екстракції вихід сухого залишку практично не змінюється.

Таблиця 1 – Значення мас сухого залишку екстракту розторопші плямистої (г) в залежності від часу та потужності ультразвукової обробки

Час обробки, (хвилини)	Потужність (Вт/м ²)		
	10	20	50
5	0,0006	0,0007	0,00078
15	0,00065	0,00075	0,0008
20	0,00071	0,00082	0,00085
50	0,00077	0,00084	0,00088

Дослідження екстрактів розторопші плямистої проводилося методом хроматомас-спектрометрії з мас-селективним детектуванням на хроматомас-спектрометрі Agilent 6890 N/5975 Inert GC/MS System, № US 10647009, з мас-селективним детектором 5975 Inert MSD, № US 62724655 і автосамплером 7683B AutoInjector,

Отримані хроматограми обробляли за допомогою бібліотеки мас-спектрів.

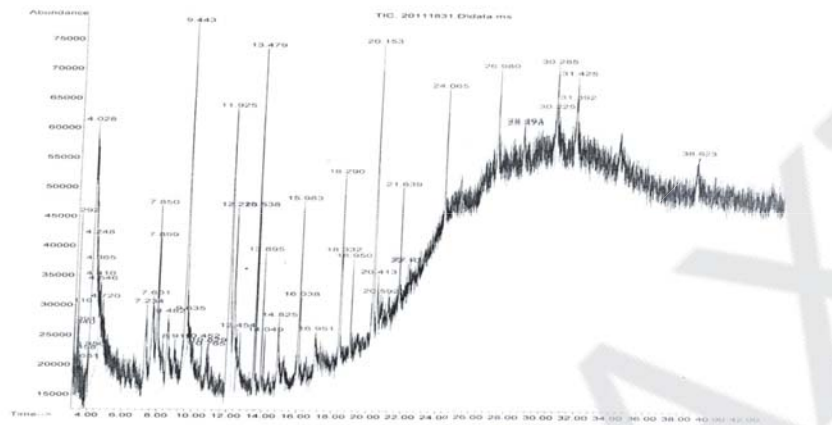


Рис. 1 – Хроматомас-спектр екстракту розторопші плямистої

В результаті автоматизованого пошуку з використанням ПЗ «NIST Mass Spectral Search Program» 2.0 в екстракті росторопши ідентифіковані наступні речовини: бензойної кислоти метиловий естер, тирамін (7,8 хв), силібинін (9,4 хв), силідианін (9,6 хв), нікотінова кислота, гистамін (14,8 хв), група речовин з мас-спектрами характерними для терпенів, тригліцериди ненасичених кислот, які в основному містять естерилінолевої та олеїнової кислот, мирістинової кислоти у вигляді моногліцериду (20,1 хв). Також на хроматограмі присутні речовини, які мають мас-спектри характерні для поліфенолів та фітостеролів. Однак однозначної ідентифікації у зв'язку з слабким розділенням піків, провести не вдалось.

В результаті проведених досліджень надані рекомендації щодо застосування екстрактів розторопші плямистої.

ВИКОРИСТАННЯ НЕЧІТКОГО РЕГУЛЯТОРА ДЛЯ ОЦІНЮВАННЯ КОНКУРЕНТОЗДАТНОСТІ ПІДПРИЄМСТВА

Коновенко Н.Г., к.ф.-м.н., доцент, Федченко Ю.С., к.ф.-м.н., доцент,
Черевко Є.В., к.ф.-м.н., доцент
Одеська національна академія харчових технологій, м. Одеса

Для побудови нечіткого регулятора було використано середовище MATLAB, в яке попередньо завантажується модуль «Fuzzy».

Досліджувалась залежність конкурентоздатності від оцінки граничної корисності продукту, сумарного обігу грошових статків, об'єму реалізації, завантаженості складів та рентабельності активів.

КОМПРОМІС ПАРЕТО МІЖ КРИТЕРІЯМИ ЕФЕКТИВНОСТІ ПРОЦЕСУ ФОРМУВАННЯ РОЗКЛАДУ НАВЧАЛЬНИХ ЗАНЯТЬ Сакалюк О.Ю., Трішин Ф.А.....	155
---	-----

СЕКЦІЯ «ТЕХНОЛОГІЧНЕ ОБЛАДНАННЯ ЗЕРНОВИХ ВИРОБНИЦТВ»

РОЛЬ SMART СИСТЕМ В УПРАВЛІННІ ОБЛАДНАННЯМ ПЕРЕРOBOЇ ГАЛУЗІ Гапонюк О.І., Алексашин О.В., Гончарук Г.А.....	157
РЕЗУЛЬТАТИ ДОСЛІДЖЕННЯ ЛУЩЕННЯ-ШЛІФУВАННЯ ЯЧМЕНЮ Гончарук Г.А., Ліпін А.П., Шипко І.М.....	160
СИЛОВЕ ДОСЛІДЖЕННЯ ЗУБЧАСТО-ВАЖЛИВОГО МЕХАНІЗМУ ЗІ ЗВОРОТНО-ПОСТУПАЛЬНИМ РУХОМ ВИХІДНОЇ ЛАНКИ Ліпін А.П., Шипко І.М.....	161
ЩОДО РОЗРОБКИ КОНСТРУКЦІЙ РЕГУЛЬОВАНИХ КРИВОШИПІВ Ліпін А.П.....	162
НАПРЯМКИ УДОСКОНАЛЕННЯ КОМБІНОВАНИХ МИЙНИХ МАШИН ДЛЯ ЗЕРНА Ж9-БМА Солдатенко Л.С., Сторож В.С.....	163

СЕКЦІЯ «ФІЗИКО-МАТЕМАТИЧНІ НАУКИ»

SWITCHING OF POLARIZATION IN PVDF FILMS: IMPORTANCE OF SCREENING BY TRAPPED CHARGES S.N. Fedosov, A.E. Sergeeva, H. von Seggern.....	165
CORONA DISCHARGE POLING OF FERROELECTRIC POLYMERS A.E. Sergeeva, S.N. Fedosov.....	167
SWITCHING OF FERROELECTRIC POLARIZATION AND ITS BUILD-UP IN POLYVINYLINDENE FLUORIDE (PVDF) FILMS S.N. Fedosov, A.E. Sergeeva.....	169
APPLICATION OF DIELECTRIC SPECTROSCOPY AND TSDC METHODS FOR STUDYING RELAXATION IN NON-LINEAR OPTICAL AND FERROELECTRIC POLYMERS A.E. Sergeeva, S.N. Fedosov.....	170
ОТРИМАННЯ ТА ДОСЛІДЖЕННЯ ЕКСТРАКТІВ ІЗ РОЗТОРОПШІ ПЛЯМИСТОЇ Задорожний В.Г.....	171
ВИКОРИСТАННЯ НЕЧІТКОГО РЕГУЛЯТОРА ДЛЯ ОЦІНЮВАННЯ КОНКУРЕНТОЗДАТНОСТІ ПІДПРИЄМСТВА Кононенко Н.Г., Федченко Ю.С., Черевко Є. В.....	173
ЗАЛИШКОВА ПОЛЯРИЗАЦІЯ В СИСТЕМІ ПС+ДР1, ЯКА ВИВЧЕНА МЕТОДОМ СТРУМІВ ТСД Ревенюк Т.А.....	175
ДЕЯКІ АСПЕКТИ ДОСЛІДЖЕННЯ МАТЕМАТИЧНОЇ МОДЕЛІ ЕКОНОМІЧНИХ ПРОЦЕСІВ Вітюк А.В., Нужна Н.В.....	176
НЕЛОКАЛЬНИЙ ПСЕВДОПОТЕНЦІАЛ І ПАРНА МІЖІОННА ВЗАЄМОДІЯ У МЕТАЛІЧНОМУ ГЕЛІІ Швець В.Т.....	178
ПРОСТА МАТЕМАТИЧНА МОДЕЛЬ СПОРІДНЕНОСТІ НАРОДІВ Швець В.Т.....	180

СЕКЦІЯ «ЕЛЕКТРОМЕХАНІКА, МЕХАТРОНІКА ТА ІНЖЕНЕРНА ГРАФІКА»

МОДЕЛЮВАННЯ ЧАСТОТНО-РЕГУЛЬОВАНОГО ЕЛЕКТРОПРИВОДУ ТЯГО-ДУТТЬОВИХ МАШИН ПАРОВОГО КОТЛА Бабіч В.Ф., Галіулін А.А., Задорожнюк О.О.....	182
ДОСЛІДЖЕННЯ ВПЛИВУ КОНТАКТНОЇ ДЕФОРМАЦІЇ ЛАНОК НА ПЕРЕДАТОЧНЕ ВІДНОШЕННЯ ІМПУЛЬСНОГО РЕДУКТОРА Субботіна М.І.....	184
ВИКОРИСТАННЯ ЕЛЕМЕНТІВ АЛГЕБРАІЧНОГО АНАЛІЗУ В КУРСІ ІНЖЕНЕРНОЇ ТА КОМП'ЮТЕРНОЇ ГРАФІКИ Ломовцев Б.А.....	186
ОПТИМАЛЬНЕ РОЗБИТТЯ ТЕРМОДИНАМІЧНИХ ЦИКЛІВ ПАРО-КОМПРЕСОРНИХ СИСТЕМ ТРАНСФОРМАЦІЇ ТЕПЛОТИ НА СХІДЦІ, ВИБІР КОМПРЕСОРІВ І ПРОМІЖНИХ ТЕМПЕРАТУР Іваненко Є.В.....	187
ВІТРОЕЛЕКТРОСТАНЦІЯ З БІРОТАТИВНИМ СИНХРОННИМ ГЕНЕРАТОРОМ Штепа Є.П.....	189
ВПЛИВ ПЕРЕДАВАЛЬНОГО ЧИСЛА НА ГАБАРИТИ ЗУБЧАТИХ ПЕРЕДАЧ ОДНО- І ДВОСТУПЕНЧАСТИХ РЕДУКТОРІВ Аванесьянц А.Г.....	193